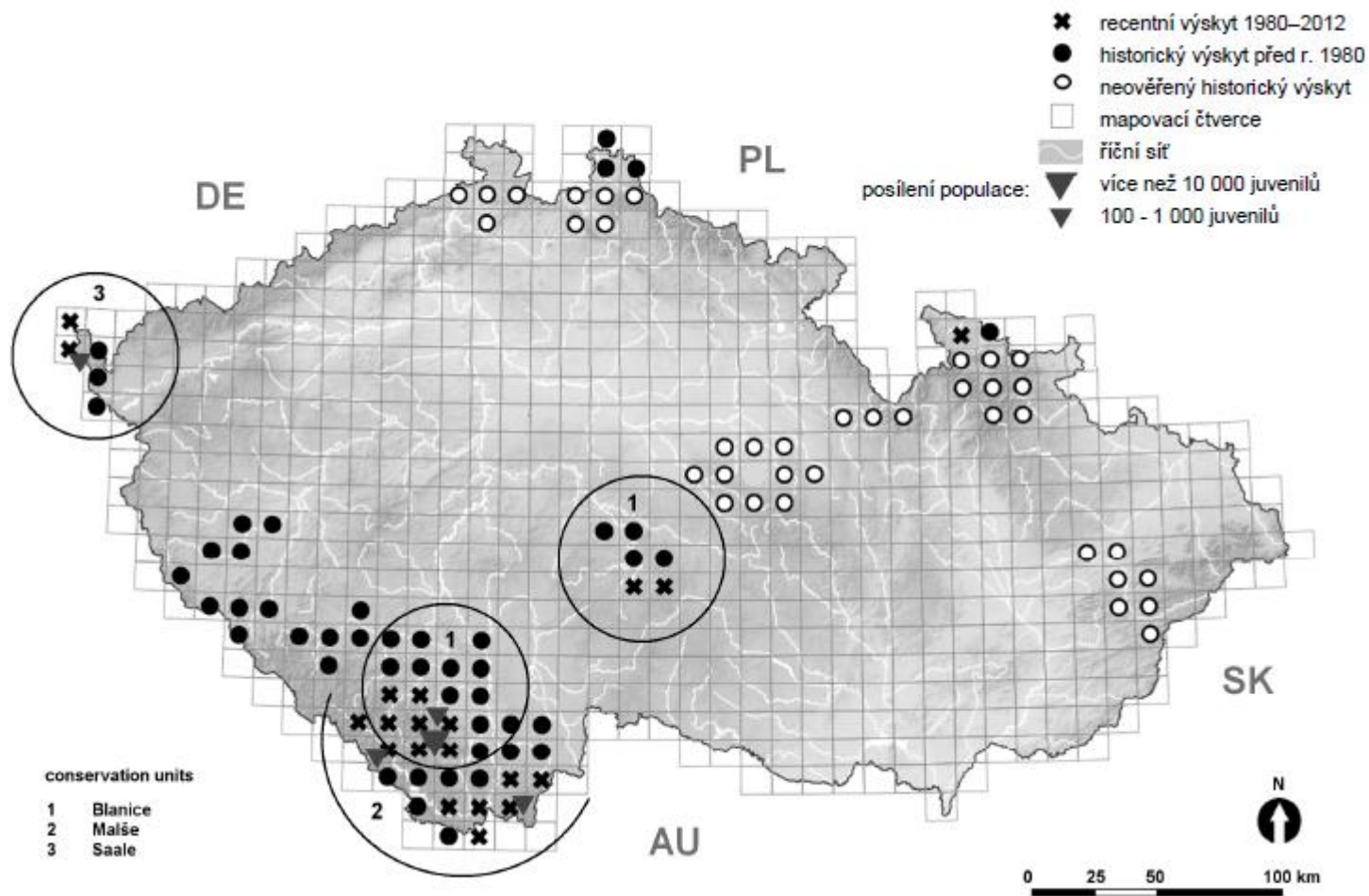


**Příloha č. 1: Historické a recentní rozšíření perlorodky říční v České republice** (Simon et al. 2012 in Švagyna et al. 2013)



**Příloha č. 2: Fotodokumentace biotopů Zbytinského potoka a Blanice**



**Obr. č. 2.1.: Olšínový biotop Zbytinského potoka.**  
(Foto: Rambousková 2014)



**Obr. č. 2.2.: Blanice.** (Foto: Rambousková 2014)

**Příloha č. 3: Fotodokumentace instalace a vážení adultních lastur perlorodky říční**



**Obr. č. 3.1.: Instalace lastur do volné vody v Blanici (březen 2014).**  
(Foto: Rambousková 2014)



**Obr. č. 3.2.: Instalace lastur do břehových sedimentů. (Foto: Rambousková 2014)**



**Obr. č. 3.3:** (vlevo) Vysoušení lastur pomocí savého papíru před vážením mokré hmotnosti. (vpravo ) Digitální váha Excell SI-132 využívaná v terénu pro vážení lastur s přesností na dvě desetiny gramu. (Foto: Rambousková)



**Obr. č. 3.4:** Vážení mokré hmotnosti v terénu (květen 2014).  
(Foto: Rambousková 2014)

#### Příloha č. 4: Fotodokumentace transportního experimentu



**Obr. č. 4.1.: Instalační čtverec v biotopu Zbytinského potoka.**  
(Foto: Rambousková 2015)



**Obr. č. 4.2.: Dohledávání lastur pomocí vodního observačního zařízení (únor 2015).**  
(Foto: Rambousková 2015)

## Příloha č. 5: Podrobná chemická data pro vodní prostředí Blanice a Zbytinského potoka

Tabulka č. 5.1.: Podrobná tabulka chemických parametrů (pH, konduktivity a obsahu rozpuštěného vápníku) naměřená pro konkrétní měsíce roku 2014.

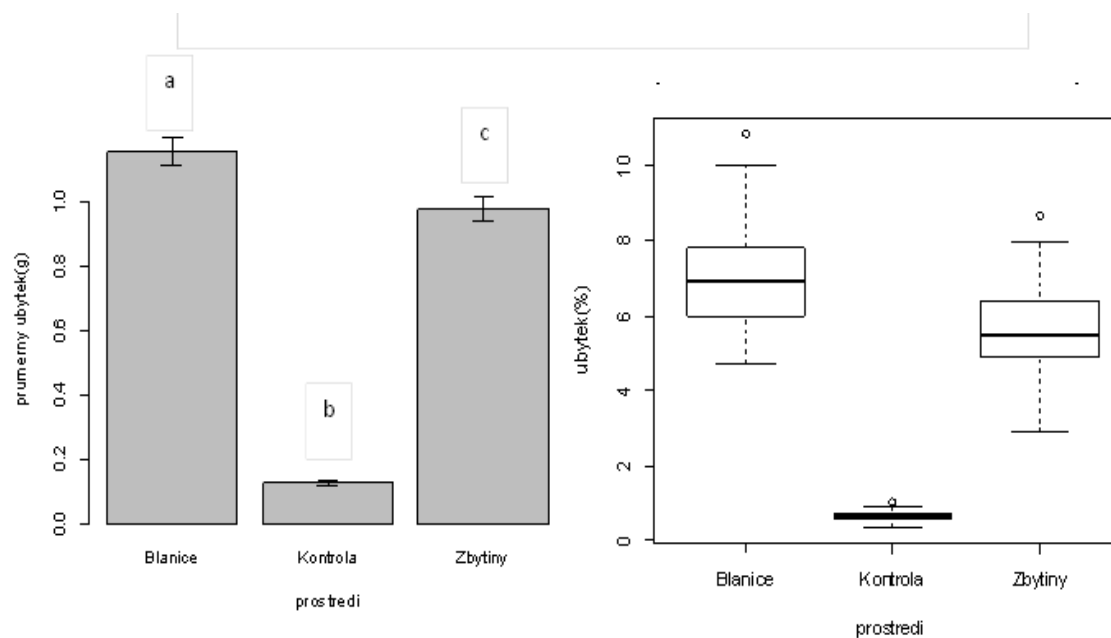
Profil	Sledov. parametry	II	III	IV	V	VI	VII	VIII	IX	X	XI	XII
Blanice odchovna	pH	6.5	6.23	5.99	6.6	7.08	5.25	7.3	6.92	7.9	7.5	7.1
	vodivost	60.7	73.2	51.1	63.5	64.2	31.7	58.1	56	55	65	55.9
	Ca (mg/l)	5.26	5.26	5.44	5.6	6.88	3.20	5.12	4.11	4.16	4.93	4.24
Zbytinský potok	pH	7.43	7.23	6.98	6.65	6.82	5.82	7.25	6.98	x	7.66	7.15
	vodivost	194.8	200.9	174.7	153	139.6	86.5	167.2	143.1	x	150	152.9
	Ca (mg/l)	23.2	22.2	19.40	20.6	15	9.13	17.5	13.0	x	16.7	15.7
Blanice uzávěrák	pH	x	6.65	6.84	6.28	6.89	6	7.26	6.96	7.8	7.19	7.14
	vodivost	x	89.3	65.8	82.2	96.7	43.8	77.9	75.4	55	73	74.8
	Ca (mg/l)	7.20	7.85	6.24	7.92	9.2	3.68	6.96	6.18	6.78	7.16	6.83

**Příloha č. 6: Tabulka hmotnostních a procentuálních úbytků jednotlivých sad lastur**

**Tabulka 6.1.: Průměrných hodnot počáteční hmotnosti jednotlivých sad a jejich suchých hmotnostních a procentuálních úbytků po 10 měsících.** BV = Blanice voda, ZV = Zbytiny voda, ZB = Zbytiny sediment, BB = Blanice sediment, S = sucho, K = kontrola

Sada	Počáteční hmotnost (g)	Hmotnostní úbytek (g)	Procentuální úbytek
	$\bar{x} \pm SD$	$\bar{x} \pm SD$	$\bar{x} \pm SD$
BV1	17.79 ± 3.31	1.22 ± 0.22	7.50 ± 1.78
BV2	16.51 ± 3.19	1.10 ± 0.18	6.90 ± 1.97
BV3	17.28 ± 2.45	1.17 ± 0.13	6.92 ± 1.32
BV4	22.70 ± 7.44	1.59 ± 0.15	7.86 ± 2.83
<b>celkem</b>	<b>17.98 ± 5.41</b>	<b>1.32 ± 0.36</b>	<b>7.52 ± 2.15</b>
ZV1	16.60 ± 1.70	0.93 ± 0.20	5.60 ± 1.19
ZV2	17.78 ± 6.07	1.06 ± 0.21	6.22 ± 2.59
ZV3	19.74 ± 6.17	1.01 ± 0.16	5.45 ± 1.44
ZV4	21.25 ± 7.05	0.91 ± 0.11	4.94 ± 1.37
<b>celkem</b>	<b>18.64 ± 5.75</b>	<b>0.92 ± 0.19</b>	<b>5.55 ± 1.83</b>
ZB1 (odstraněna)	<b>20.95 ± 3.46</b>	<b>2.50 ± 0.55</b>	<b>8.8 ± 2.60</b>
ZB2	16.88 ± 4.34	0.81 ± 0.14	5.01 ± 1.05
ZB3	14.64 ± 2.73	0.79 ± 0.14	5.53 ± 1.34
ZB4	15.47 ± 5.26	0.90 ± 0.12	6.61 ± 2.52
<b>celkem</b>	<b>15.66 ± 4.34</b>	<b>0.85 ± 0.14</b>	<b>5.72 ± 1.92</b>
BB1	17.27 ± 4.44	0.61 ± 0.13	3.84 ± 1.64
BB2	16.89 ± 4.74	0.65 ± 0.10	4.36 ± 1.44
BB3	18.10 ± 5.67	0.73 ± 0.14	4.57 ± 2.12
BB4	22.25 ± 2.81	0.83 ± 0.11	3.77 ± 0.61
<b>celkem</b>	<b>18.43 ± 4.71</b>	<b>0.71 ± 0.14</b>	<b>4.14 ± 1.27</b>
S1	20.39 ± 3.78	0.16 ± 0.03	0.79 ± 0.21
S2	17.84 ± 3.00	0.15 ± 0.02	0.88 ± 0.21
S3	17.77 ± 3.88	0.24 ± 0.05	1.42 ± 0.46
S4	17.64 ± 5.06	0.14 ± 0.02	0.93 ± 0.40
<b>celkem</b>	<b>18.41 ± 0.05</b>	<b>0.17 ± 0.05</b>	<b>1.00 ± 0.18</b>
K1	18.76 ± 4.44	0.13 ± 0.02	0.70 ± 0.16
K2	19.59 ± 5.03	0.13 ± 0.03	0.72 ± 0.31
<b>celkem</b>	<b>19.17 ± 4.76</b>	<b>0.13 ± 0.03</b>	<b>0.13 ± 0.03</b>

**Příloha č. 7: Rozpouštění lastur adultních perlorodek v různých mineralizované vodě po vypuštění sady BV4**



**Obr. č. 7.1.:** (vlevo) sloupcový graf znázorňující průměrné hmotnostní úbytky v jednotlivých typech prostředí bez sady BV4 (vpravo) krabicový graf procentuální úbytků bez sady BV4. Blanice: (Ca: = 5,03 mg.l<sup>-1</sup>,  $\sigma$ : = 57,89  $\mu$ S.cm<sup>-1</sup>), Zbytiny (Ca: = 17,24 mg.l<sup>-1</sup>,  $\sigma$ : = 153  $\mu$ S.cm<sup>-1</sup>), Kontrola ( = 59,40



## Příloha č. 8: Degradace lastur v laboratorních podmínkách



**Obr. č. 8.1.: Degradace lastur po cca měsíci uložení v laboratorních podmínkách.** (vlevo) lastury z Blanice s viditelnou železitou inkrustací na povrchu periostraka (vpravo) lastury z vody Zbytinského potoka bez inkrustace. Viditelné jsou frakturace lastur při jejich okrajích (viz šipka) (Foto: Simon 2015)

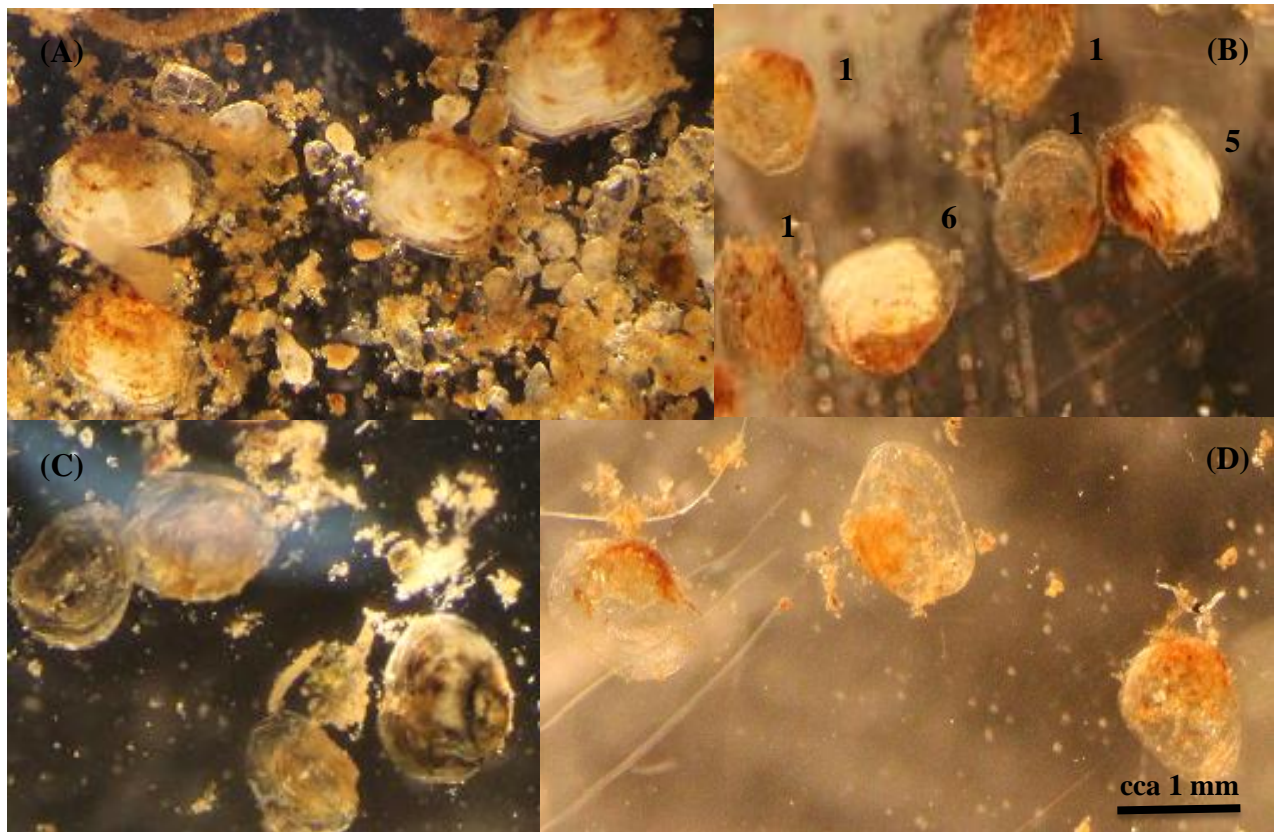


**Obr. č. 8.2.: Detailní pohled na frakturaci okrajů lastur** (Foto: Simon 2015)



**Obr. č. 8.3.: Detailní pohled na odlupující se periostrakum.** (Foto: Simon 2015)

## Příloha č. 9: Průběh rozpouštění lasturek juvenilů perlorodky říční

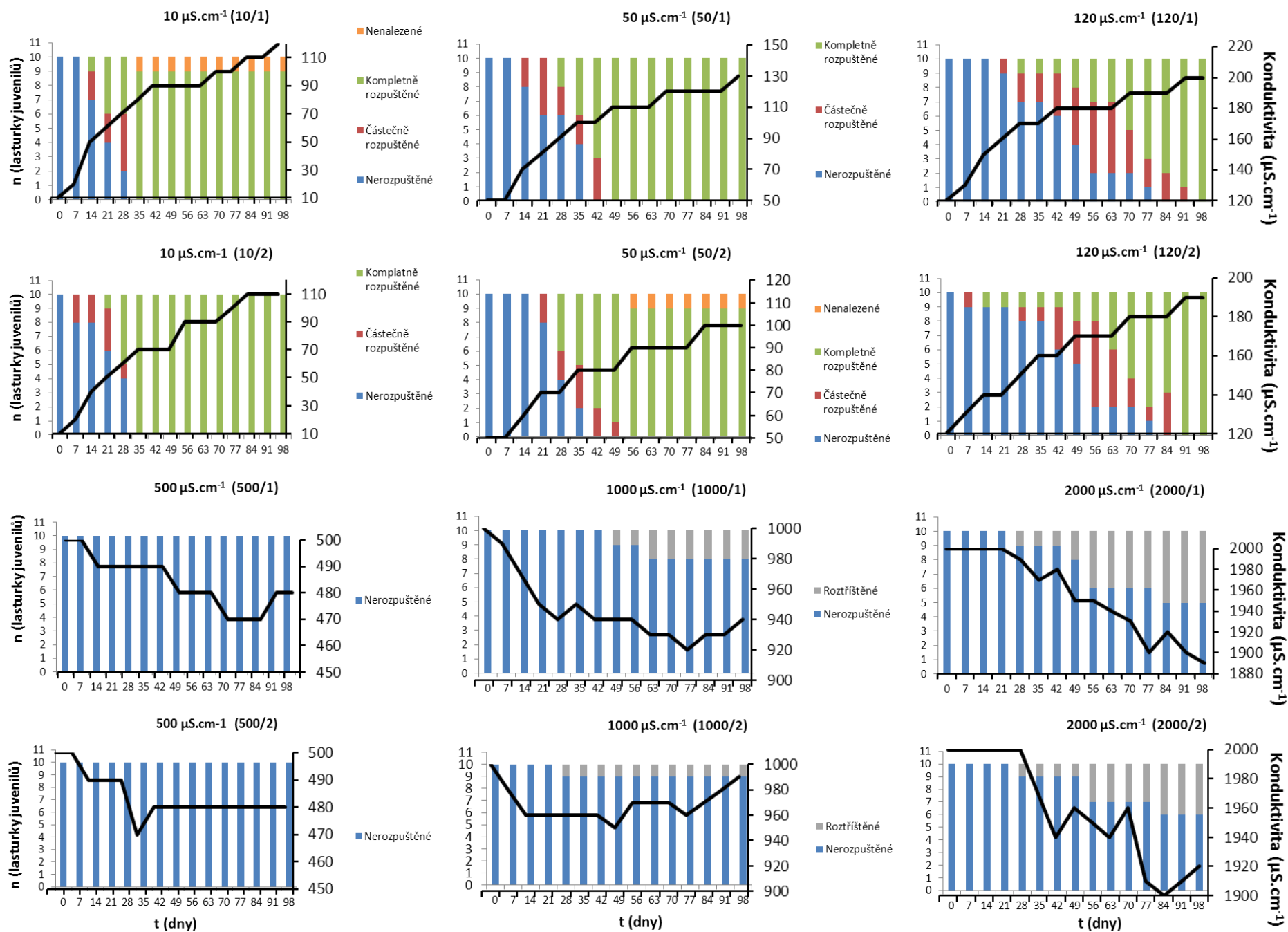


**Obr. č. 10.1.: Fotografie juvenilů perlorodky říční v různých stádiích rozpouštění exponovaných v in situ:**

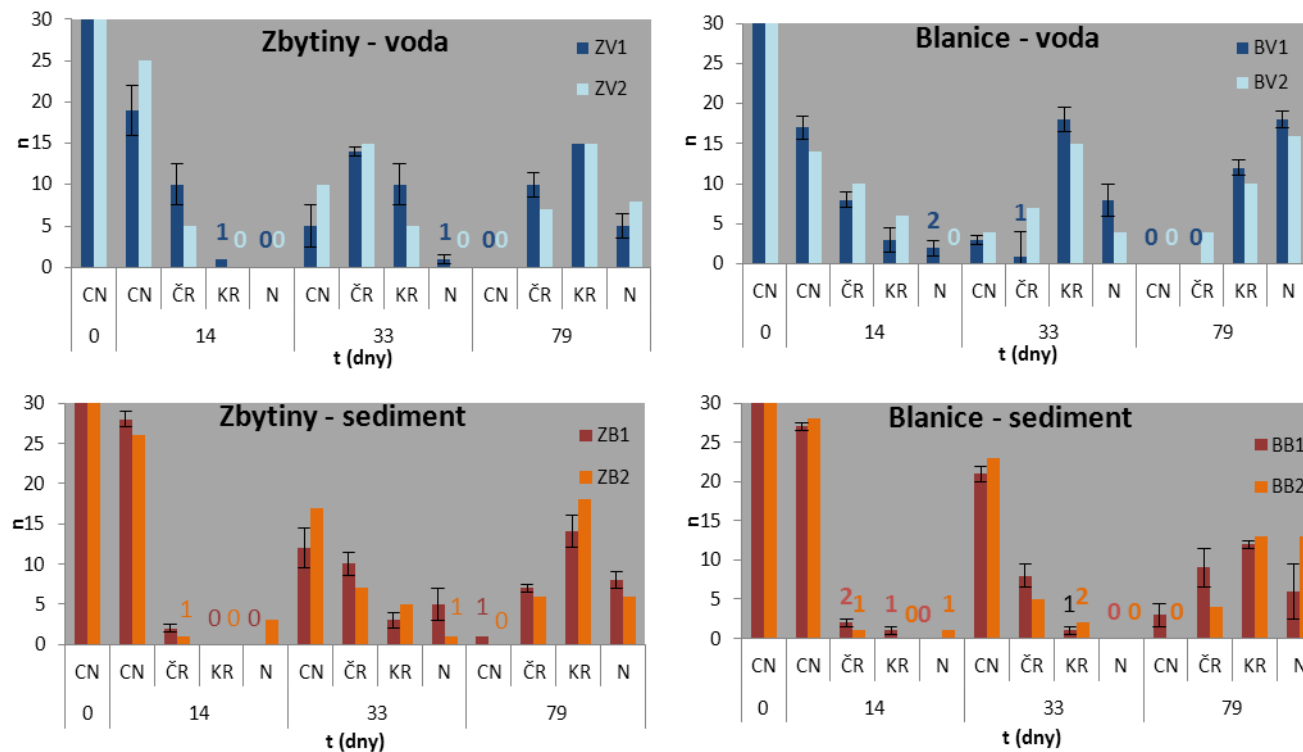
- (A) Lasturky celé nerozpuštěné.
- (B) Různorodá rychlost rozpouštění u stejně starých a přibližně stejně velkých lasturek (1,2,3 a 4: kompletně rozpuštěné, 5: částečně rozpuštěná, 6: celá nerozpuštěná)
- (C) Šedavé abarvení periostraka lasturek exponovaných v dnových sedimentech
- (D) Lasturky kompletně rozpuštěné

(Foto: Rambousková 2014)

**Příloha č. 10: Grafy rozpuštění juvenilních lasturek perlorodky ve vzorcích s odlišnou konduktivitou vody**



**Příloha č. 11: Grafy znázorňující rozpouštění juvenilních lastur perlorodky v in situ**



**Obr. č. 11.1. : Průběh rozpouštění lasturek juvenilů exponovaných v in situ ve vodě a říčních sedimentech Blanice a Zbytínského p. (CN) celé nerozpuštěné lasturky, (ČR) částečně rozpuštěné, (KN) kompletně rozpuštěné, (N) nenalezené; 1 a 2 = sady; n = počet lasturek v jednotlivých kategoriích.**

## Příloha č. 12: Průběh rozpouštění adultních lastur perlorodky říční



Obr. č. 12.1.: Rozpouštění lastury z vnitřní strany. (Foto: Rambousková 2015)



Obr. č. 12.2.: Koroze vnějšího pláště. (Foto: Rambousková 2015)

## Příloha č. 13: Tabulka observačních výsledků transportního pokusu

**Tabulka č. 13.1.: Observační výsledky transportního pokusu.** Typ : KČ = kompletní čerstvá schránka, KO = Kompletní odvápněná schránka, PL = polovina lastury; T: vzdálenost (m) lastury od instalačního čtverce

Typ	Stav	Umístění v toku	Mikrostanoviště	T(m)
KČ-1	zatížená jemným sedimentem	střední část	zachycena mezi balvany	0
KČ-2	zatížená jemným sedimentem	střední část	volná voda	0
KČ-3	prázdná	střední část	volná voda	0
KČ-4	sedimentující	střední část	píščina za kamenem	0
KČ-5	prázdná	střední část	zachycena mezi balvany	0
KČ-6	prázdná	pravostranný břeh	v rychlém proudu zachycena mezi balvany	1
KČ-7	sedimentující	hrana břehu	píščina	2
KČ-8	prázdná	pravostranný břeh	v rychlém proudu zachycena v kořenech	2
KČ-9	prázdná	pravostranný břeh	v rychlém proudu zachycena v kořenech	3
KČ-10	sedimentující	hrana břehu	píščina	4
KČ-11	sedimentující	pravostranný břeh	štěrkopísek	4
KČ-12	prázdná	střední část	zachycena mezi balvany	5
<b>celkem:</b>	<b>19</b>			
<b>nenalezeno:</b>	<b>7</b>			
KO-1	sedimentující	střední část	štěrkopísek	0
KO-2	zatížena hrubozrnným sedimentem	střední část	volná voda	0
KO-3	zatížena hrubozrnným sedimentem	pravostranný břeh	volná voda	0
KO-4	nalezena polovina	pravostranný břeh	v rychlém proudu zachycena mezi balvany	0
KO-5	sedimentující	levostranný břeh	píščina	0
KO-6	sedimentující	pravostranný břeh	píščina	2
KO-7	sedimentující	hrana břehu	píščina	4
KO-8	prázdná	střední část	zachycena mezi balvany	5
KO-9	sedimentující	hrana břehu	píščina	5
<b>celkem:</b>	<b>18</b>			
<b>nenalezeno:</b>	<b>9</b>			
PL-1	volně uložená	levostranný břeh	volná voda	0
PL-2	sedimentující	střední část	štěrkopísek	0
PL-3	sedimentující	střední část	štěrkopísek	0
PL-4	x	střední část	zachycena pod kamenem	0
PL-5	sedimentující	levostranný břeh	zachycena mezi balvany	0
PL-6	sedimentující	pravostranný břeh	štěrkopísek	0
PL-7	x	střední část	zachycena pod kamenem	0
PL-8	volně uložená	pravostranný břeh	volná voda	0
PL-9	sedimentující	hrana pravého břehu	píščina	0
PL-10	sedimentující	hrana pravého břehu	píščina	0
PL-11	sedimentující	hrana pravého břehu	píščina	0
PL-12	sedimentující	hrana pravého břehu	píščina	0
PL-13	sedimentující	střední část	štěrkopísek	0
PL-14	sedimentující	pravostranný břeh	píščina	0
PL-15	sedimentující	pravostranný břeh	štěrkopísek	0
PL-16	volně uložená	levostranný břeh	volná voda	0
PL-17	x	pravostranný břeh	zachycena pod kamenem	2
PL-18	sedimentující	hrana pravého břehu	píščina	5
<b>celkem:</b>	<b>22</b>			
<b>nenalezeno:</b>	<b>2</b>			